

บทที่ 4

ผลการทดสอบ

4.1 อุปกรณ์และเครื่องมือวัดพื้นฐานที่ใช้ในการทดสอบ

ในการทดสอบวงจรแสดงสถานะการทำงานของกับดักเสิร์จ จะแบ่งการทดสอบเป็นสองส่วน คือ การทดสอบวัดค่ากระแสเร็วไฟลในห้องปฏิบัติการด้วยอุสซิลโลสโคป เพื่อหาค่ากระแสเร็วอ้างอิง (ได้กล่าวถึงหลักวิธีการ ไว้แล้วในบทที่ 3) และการทดสอบวงจรแสดงสถานะการทำงานของกับดักเสิร์จที่สร้างขึ้นโดยเปรียบเทียบกับค่ากระแสเร็วอ้างอิง

อุปกรณ์และเครื่องมือหลักที่ใช้ในการทดสอบ มีดังนี้

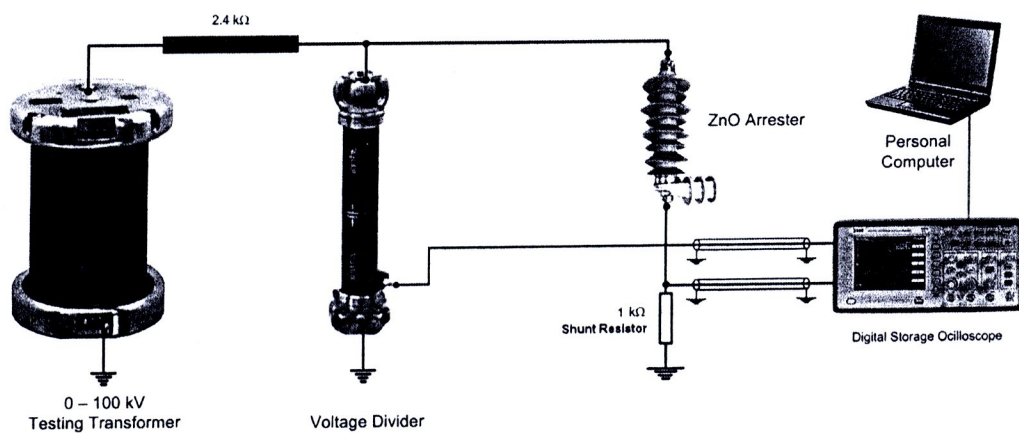
1. หน้าจอแสดงผลทดสอบแรงดัน 0 – 100 kV
 2. โวลเตจดิไวดิวเดอร์ (voltage divider)
- $$C_1 : C_2 = 1.20E-09 : 6.00E-07 \text{ F} \text{ (scale factor} = 501 : 1\text{)}$$
3. Shunt Resistor ขนาด 1 kΩ
 4. กับดักเสิร์จตัวอย่างชนิด ZnO จำนวน 5 ตัวอย่างตามที่แสดงในตารางที่ 4.1
 5. แคลมป์วัดกระแสเร็วไฟล (leakage current clamp) CHAUVIN ARNOUX model C173
 6. คอมพิวเตอร์โน๊ตบุ๊ค
 7. Data Acquisition (DAQ) Devices, National Instruments USB-6008/6009
 8. Digital Storage Scope, Tektronix model TDS 2002B
 9. Digital Multimeter, Tektronix model DMM916

โดยมีรายละเอียดของอุปกรณ์ และเครื่องมือวัด แสดงไว้ในภาคผนวก ง

ตารางที่ 4.1 กับดักเสิร์จตัวอย่างที่ใช้ในการทดสอบ

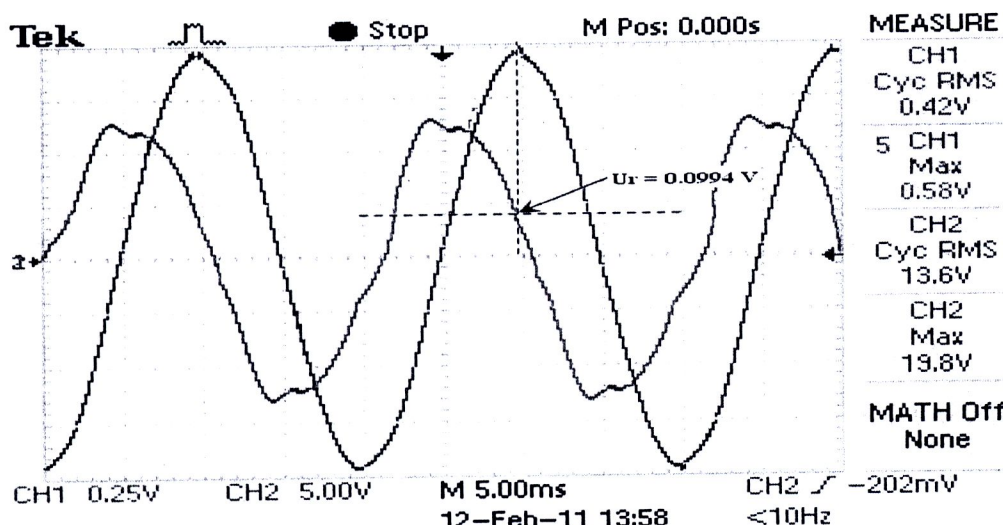
Sample	According to IEC 60099-4		
	ZnO Rated Voltage (kV)		Rated Current (kA)
	U_r	U_c	
NEW-1	21	17	5
NEW-2	21	17	5
OLD-1	21	17	5
OLD-2	21	17	5
OLD-3	21	17	5

4.2 การทดสอบวัดค่ากระแสรั่วไฟลรวมและกระแสรั่วความต้านทานเพื่อหาค่าอ้างอิง



รูปที่ 4.1 แสดงการต่อวงจรทดสอบกับดักเสิร์จตัวอย่าง เพื่อหาค่ากระแสรั่วไฟลอ้างอิง

รูปที่ 4.1 เป็นวงจรที่ใช้ในการทดสอบ จากรูป ใช้ออสซิลโลสโคปวัดสัญญาณแรงดันคร่อมกับดักเสิร์จ และแรงดันคร่อม Shunt Resistor ขนาด 1 kΩ (ค่าจริงที่วัดได้ 1.072 kΩ) โดยหาค่ากระแสรั่วความต้านทาน จากสัญญาณแรงดันของกระแสรั่วไฟลรวม ที่คร่อม Shunt Resistor ตรงตำแหน่งค่ายอดของแรงดันคร่อมกับดักเสิร์จ นำค่าแรงดันที่วัดได้ไปคำนวณหาค่ากระแสรั่วไฟลรวม และกระแสรั่วความต้านทาน

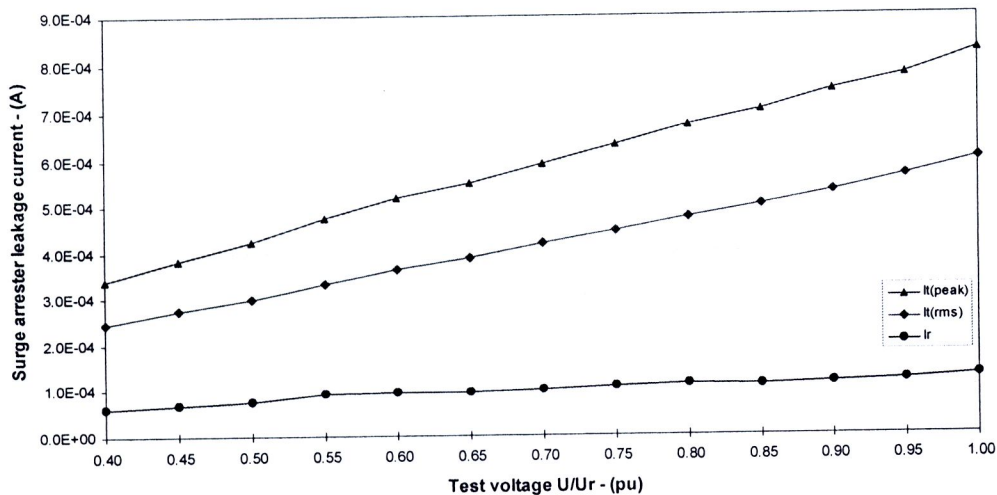


รูปที่ 4.2 แสดงการหาค่ากระแสรั่วความต้านทาน โดยใช้แรงดันเป็นสัญญาณตัวอย่าง และอ่านค่าจากออสซิลโลสโคป

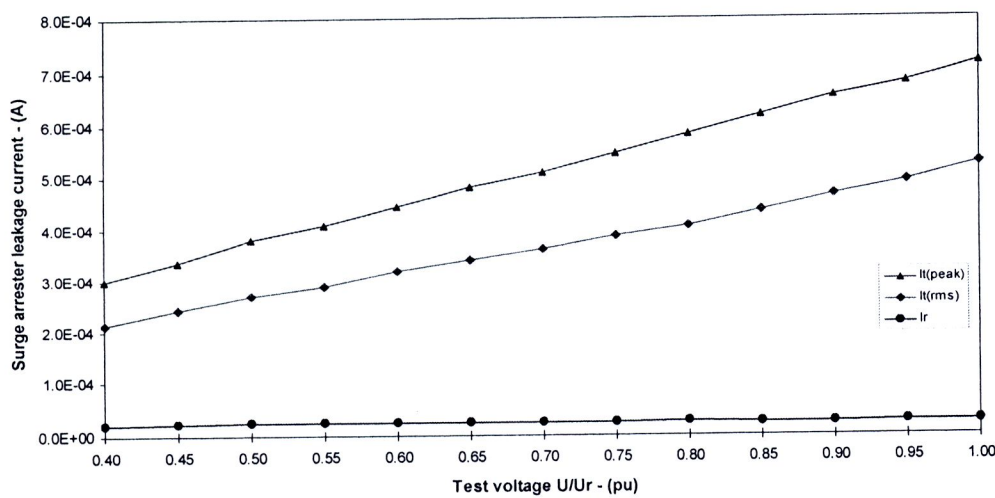
รูปที่ 4.2 เป็นอุปกรณ์ออสซิลโลแกรมของ แรงดันทดสอบ และกระแสรั่วไฟลรวม ขั้นตอนที่ทำการทดสอบกับดักเสิร์จตัวอย่าง NEW-1 ด้วยแรงดันทดสอบ 13.65 kVrms (19.30 kVpeak) สัญญาณ

แรงดันของกระแสรั่วความต้านทานมีค่าเท่ากับ $0.0994 \text{ V}_{\text{peak}}$ (ที่ค่า Shunt Resistance $1.072 \text{ k}\Omega$) จะได้ค่ากระแสรั่วความต้านทาน $I_r = 0.0994 / 1.072e3 = 9.272e-5 \text{ A}$ หรือเท่ากับ $92.72 \mu\text{A}_{\text{peak}}$ ใน การทดสอบ จะควบคุมแรงดันทดสอบระหว่างขั้วของกับดักเสิร์จ ให้มีค่ายอดคูณที่ $29.70 \text{ kV}_{\text{peak}}$ เพื่อไม่ให้เกินค่าระดับแรงดันพิกัด U_r (21 kV) ของกับดักเสิร์จ (แรงดันใช้งานปกติอยู่ที่ $17.96 \text{ kV}_{\text{peak}}$ ซึ่งเป็นแรงดัน line-to-neutral ของระบบ 22 kV) เนื่องจากเมื่อกับดักเสิร์จได้รับแรงดันที่ ระดับปกติของระบบไฟฟ้า จะมีกระแสรั่วความต้านทานใหญ่น้อยมาก เมื่อเทียบกับกระแสรั่วค่าป่า ชิติพ แต่เมื่อกับดักเสิร์จได้รับแรงดันสูงขึ้นจนถึงระดับแรงดันแรงดันพิกัด ซึ่งเป็นบริเวณที่กับดัก เสิร์จเริ่มทำการแส จึงมีกระแสรั่วความต้านทานใหญ่เพิ่มมากขึ้น จนมีขนาดสูงกว่ากระแสรั่วค่าป่า ชิติพ ดังนั้นการทดสอบจึงจำเป็นต้องทำด้วยความระมัดระวังและรวดเร็ว เพื่อไม่ให้กับดักเสิร์จ ได้รับความเสียหายเนื่องจากความร้อนที่เพิ่มมากขึ้น

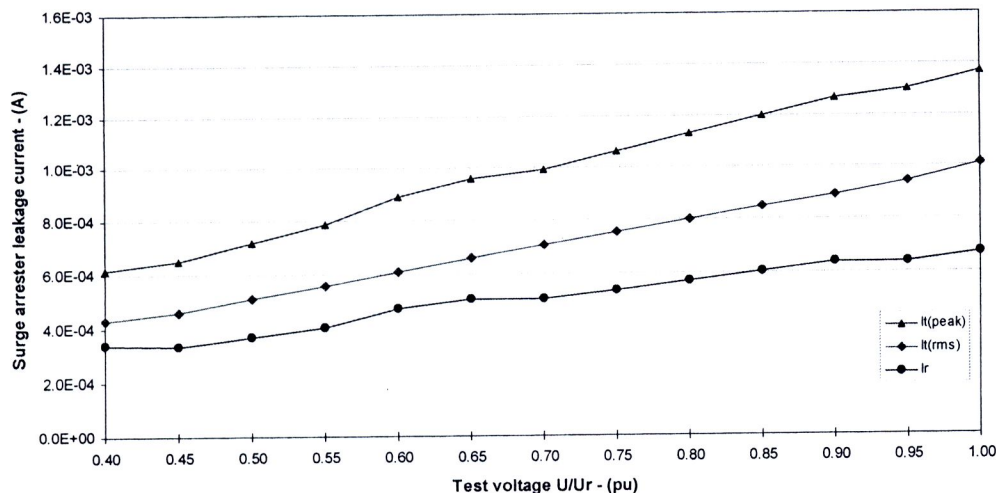
จากการทดสอบพบว่า ค่ากระแสรั่วไฟลุ่มที่ไฟลุ่นผ่านกับดักเสิร์จที่ยังไม่ผ่านการใช้ งาน (NEW-1, NEW-2) มีค่ายอดประมาณ $500 \mu\text{A} - 600 \mu\text{A}$ และกับดักเสิร์จที่ผ่านการใช้งานมาแล้ว (OLD-1, OLD-2, OLD-3) มีค่ายอดประมาณ $800 \mu\text{A} - 1,200 \mu\text{A}$ ซึ่งผลที่ได้จากการทดสอบแสดงไว้ ในตารางที่ ก.5 ถึง ตารางที่ ก.9 ของภาคผนวก ก รูปที่ 4.3 ถึง รูปที่ 4.7 แสดงค่ากระแสรั่วไฟลุ่ม (ค่า peak และ rms) และกระแสรั่วความต้านทาน (ค่า peak) ที่ได้จากการทดสอบกับดักเสิร์จ ตัวอย่างทั้ง 5 ตัวอย่าง ค่าที่ได้นี้จะใช้เป็นค่าอ้างอิง เพื่อเปรียบเทียบ ในการทดสอบวงจรแสดง สถานะการทำงานของกับดักเสิร์จที่สร้างขึ้น



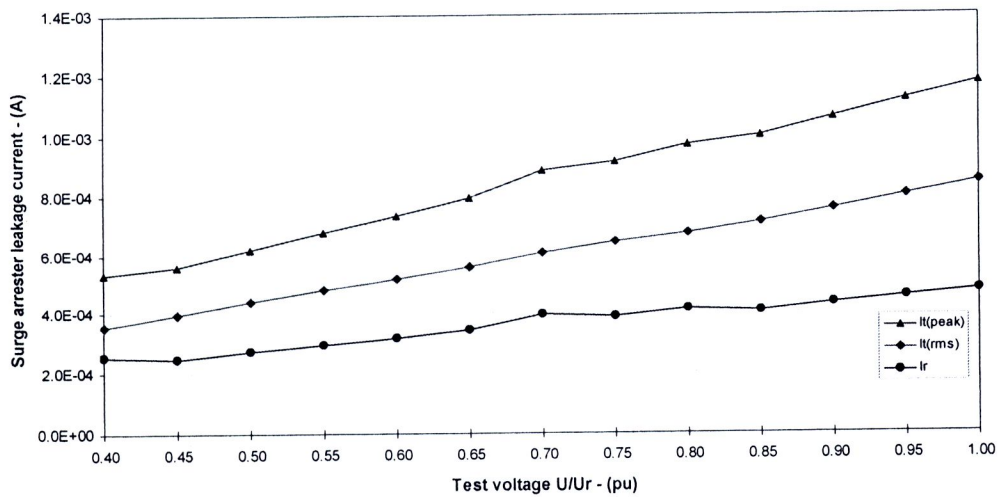
รูปที่ 4.3 ผลการทดสอบกระแสรั่วไฟลุ่นของกับดักเสิร์จในห้องปฏิบัติการ ตัวอย่างทดสอบ NEW-1 แสดงกระแสรั่วไฟลุ่มค่า peak และค่า rms และกระแสรั่วความ ต้านทานค่า peak (ผลการทดสอบตารางที่ ก.5 ของภาคผนวก ก.)



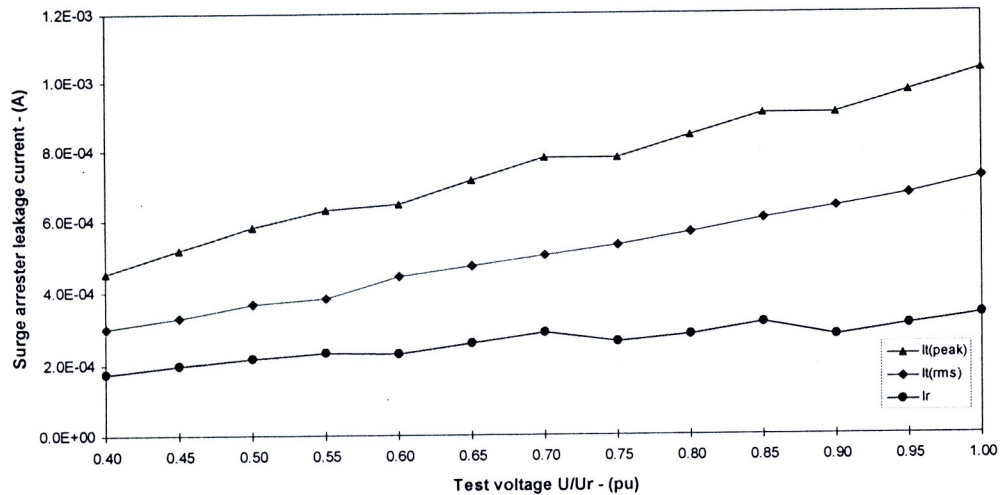
รูปที่ 4.4 ผลการทดสอบกระแสเร็วไฟลอกองกับดักเสิร์จในห้องปฏิบัติการ ตัวอย่างทดสอบ NEW-2 แสดงกระแสเร็วไฟลอกลรวมค่า peak และค่า rms และกระแสเร็วความด้านท่านค่า peak (ผลการทดสอบตารางที่ ก.6 ของภาคผนวก ก.)



รูปที่ 4.5 ผลการทดสอบกระแสเร็วไฟลอกองกับดักเสิร์จในห้องปฏิบัติการ ตัวอย่างทดสอบ OLD-1 แสดงกระแสเร็วไฟลอกลรวมค่า peak และค่า rms และกระแสเร็วความด้านท่านค่า peak (ผลการทดสอบตารางที่ ก.7 ของภาคผนวก ก.)



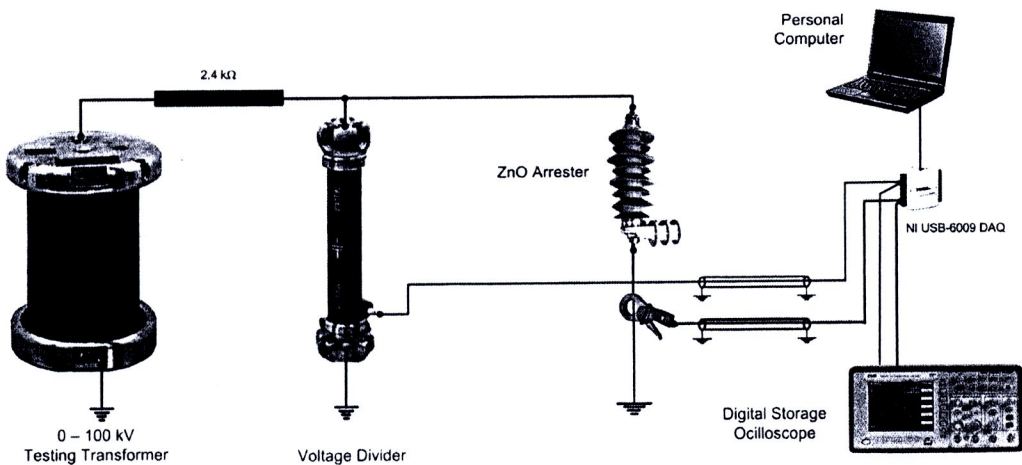
รูปที่ 4.6 ผลการทดสอบกระแสเร็วไฟลอกองกับตักเดริ้งในห้องปฏิบัติการ ตัวอย่างทดสอบ OLD-2 แสดงกระแสเร็วไฟลอกลรวมค่า peak และค่า rms และกระแสเร็วความต้านทานค่า peak (ผลการทดสอบตารางที่ ก.8 ของภาคผนวก ก.)



รูปที่ 4.7 ผลการทดสอบกระแสเร็วไฟลอกองกับตักเดริ้งในห้องปฏิบัติการ ตัวอย่างทดสอบ OLD-3 แสดงกระแสเร็วไฟลอกลรวมค่า peak และค่า rms และกระแสเร็วความต้านทานค่า peak (ผลการทดสอบตารางที่ ก.9 ของภาคผนวก ก.)



4.3 การทดสอบวงจรแสดงสถานะการทำงานของกับดักเสิร์จต้นแบบ



รูปที่ 4.8 แสดงการทดสอบวงจรแสดงสถานะการทำงานของกับดักเสิร์จต้นแบบ

การทดสอบวงจรแสดงสถานะการทำงานของกับดักเสิร์จ แสดงดังรูปที่ 4.8 จากรูปสัญญาณกระแสแสร้งไว้ให้รวมผ่านกับดักเสิร์จจากแคลมป์วัดกระแส (current clamp) และสัญญาณแรงดันอ้างอิงของระบบจากโวลเตจดิจิตอลเดอร์ จะเชื่อมต่อเข้าคอมพิวเตอร์ผ่านทางวงจรรับข้อมูล (data acquisition) NI USB-6009 DAQ ข้อมูลของกระแสและแรงดันที่ได้จะนำมาวิเคราะห์หากค่ากระแสแสร้งความต้านทานด้วยโปรแกรม LabVIEW ที่ออกแบบไว้ โดยการวิเคราะห์แยกส่วนประกอบชาร์โนนิกลำดับที่ 3 ออกจากสัญญาณกระแสแสร้งไว้ให้รวม เพื่อหาค่ากระแสแสร้งความต้านทาน โดยมีการซัดเซยค่าความคลาดเคลื่อนส่วนประกอบชาร์โนนิกลำดับที่ 3 ของแรงดันทั้งขนาดและมุมเฟส

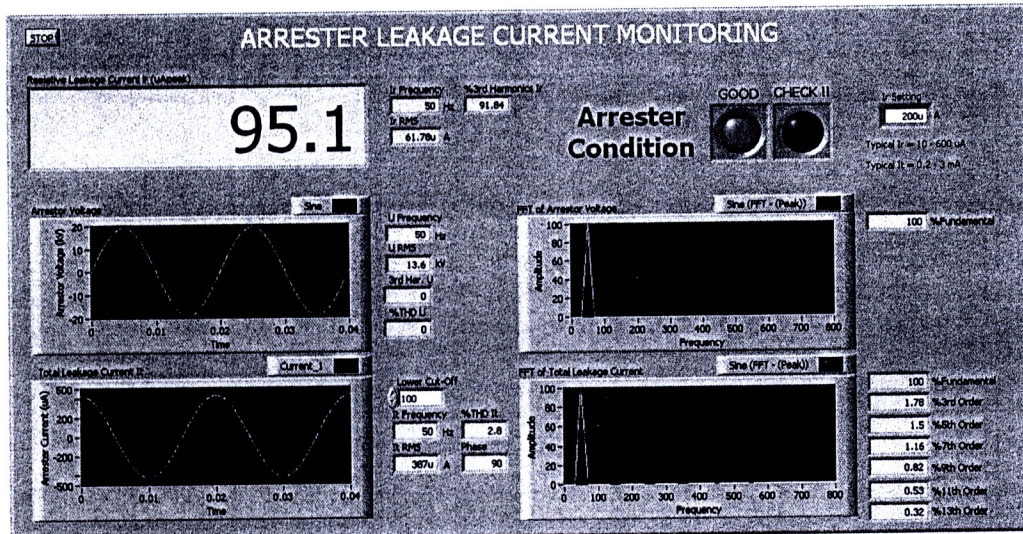
สัญญาณกระแสและแรงดัน จากวงจรรับข้อมูล จะส่งผ่านเข้าวงจรฟิลเตอร์เพื่อกรองสัญญาณรบกวน จากนั้นจะถูกปรับแต่งระดับสัญญาณให้เหมาะสม ก่อนจะส่งเข้าไปวงจรวิเคราะห์สัญญาณ และแสดงผล

สัญญาณกระแสจะถูกส่งเข้าวงจร FFT (Fast Fourier Transform) เพื่อวิเคราะห์ และแสดงผลส่วนประกอบชาร์โนนิกในกระแสแสร้งไว้ให้รวมของกับดักเสิร์จ ส่วนประกอบชาร์โนนิกลำดับที่ 3 จะถูกส่งต่อไปยังวงจรคุณค่าคงที่ เพื่อปรับขนาด (rescale) ให้แสดงค่ากระแสแสร้งความต้านทานได้อย่างถูกต้อง โดยใช้ข้อมูลที่ได้จากการวิเคราะห์แบบจำลองของกับดักเสิร์จด้วยโปรแกรม MATLAB ตามรูปที่ 3.10 ในบทที่ 3

ส่วนของสัญญาณแรงดันจะถูกส่งเข้าวงจร FFT เพื่อวิเคราะห์ หาทั้งขนาดและมุมเฟสของส่วนประกอบชาร์โนนิกลำดับที่ 3 เพื่อหาค่าซัดเซยความคลาดเคลื่อนจากส่วนประกอบชาร์โน

นิกลำดับที่ 3 ของแรงดัน โดยใช้ข้อมูลจากการวิเคราะห์แบบจำลองของกับดักเสิร์จด้วยโปรแกรม MATLAB ตามรูปที่ 3.22 ในบทที่ 3 ค่าชดเชยที่ได้จะนำไปคุณกับสัญญาณส่วนประกอบหาร์โนนิก ลำดับที่ 3 ของกระแสกระแสเร็วไฟฟ้าที่มีการคุณค่าคงที่เพื่อปรับขนาดแล้ว เพื่อส่งค่ากระแสเร็วความด้านทานที่ได้ออกไปแสดงผลที่หน้าจอ

ในการออกแบบวงจร กำหนดให้สามารถปรับตั้งค่ากระแสเร็วความด้านทานสูงสุดได้ เพื่อจะนำผลของกระแสเร็วความด้านทานที่วิเคราะห์ได้จากการแสดงสถานะการทำงานของกับดักเสิร์จมาเปรียบเทียบ และนำผลที่ได้ส่งออกเป็นสัญญาณเตือน (alarm signal) ให้ทราบว่า กับดักเสิร์จที่ทำการตรวจสอบอยู่ในสภาพดี (“GOOD” condition) หรืออยู่สภาพเสื่อมสภาพ ต้องทำการตรวจสอบ (“CHECK” condition)

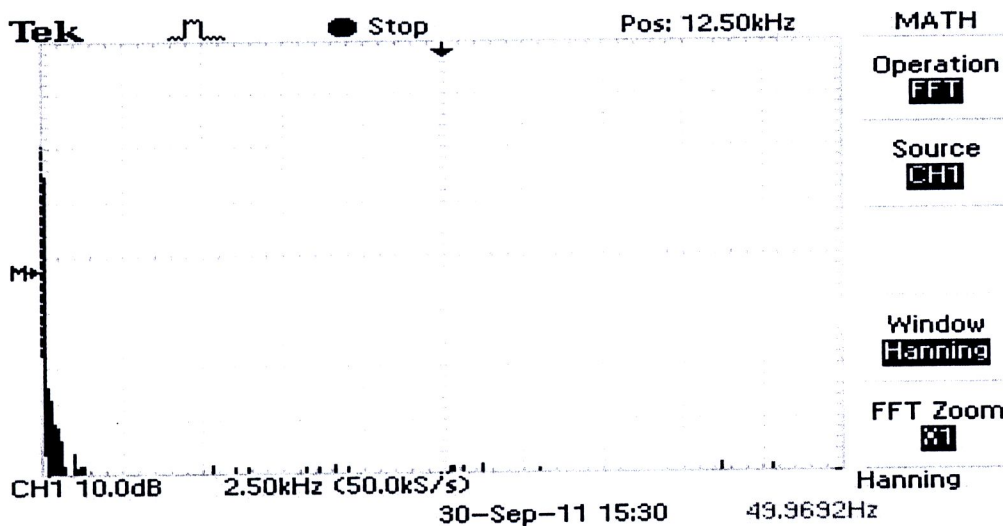


รูปที่ 4.9 การแสดงผลของวงจรแสดงสถานะการทำงานของกับดักเสิร์จ เมื่อทำการทดสอบวัดค่ากระแสเร็วไฟฟ้า

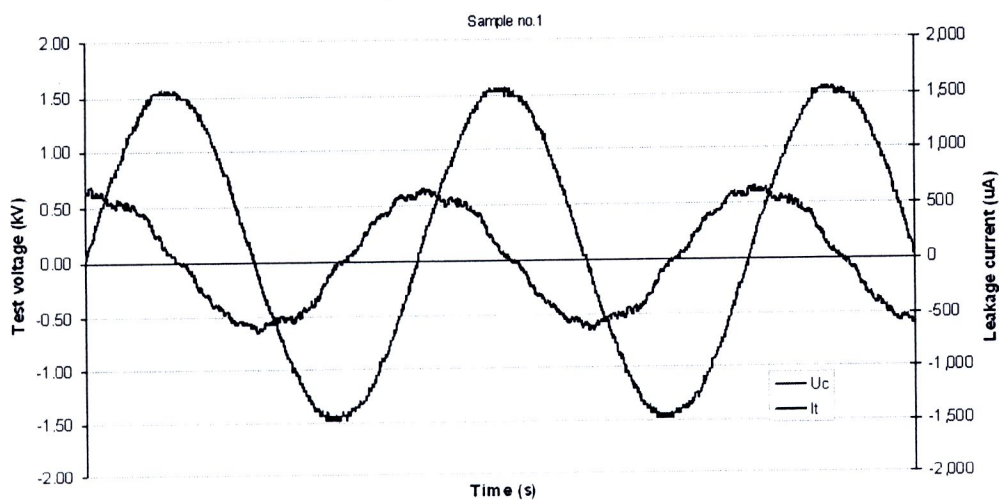
รูปที่ 4.9 แสดงหน้าจอแสดงผลของวงจรแสดงสถานะการทำงานของกับดักเสิร์จ ขณะที่ทำการทดสอบกับดักเสิร์จตัวอย่าง NEW-1 ที่ระดับแรงดันทดสอบ 13.6 kVrms (19.23 kVpeak) ไม่มีส่วนประกอบหาร์โนนิก (% THD = 0) จากรูปแสดงค่ากระแสเร็วไฟฟ้าที่ 387.0 μ Arms กระแสเร็วความด้านทาน 95.1 μ Apeak (61.78 μ Arms) เปอร์เซ็นต์หาร์โนนิกของกระแสเร็วไฟฟ้า กระแสเร็วไฟฟ้า และมุมไฟฟ้าของกระแสเร็วไฟฟ้า เทียบกับแรงดันตกคร่อมกับดักเสิร์จ

ในการทดสอบวงจรแสดงสถานะการทำงานของกับดักเสิร์จ จะควบคุมแรงดันทดสอบระหว่างขั้วของกับดักเสิร์จ ให้มีค่ายอดอยู่ที่ไม่เกิน 29.70 kVpeak (21 kVrms) เช่นเดียวกัน กับการทดสอบกระแสเร็ว กับดักเสิร์จ เพื่อหาค่าอ้างอิง ในการทดสอบการทำงาน ได้มีการ

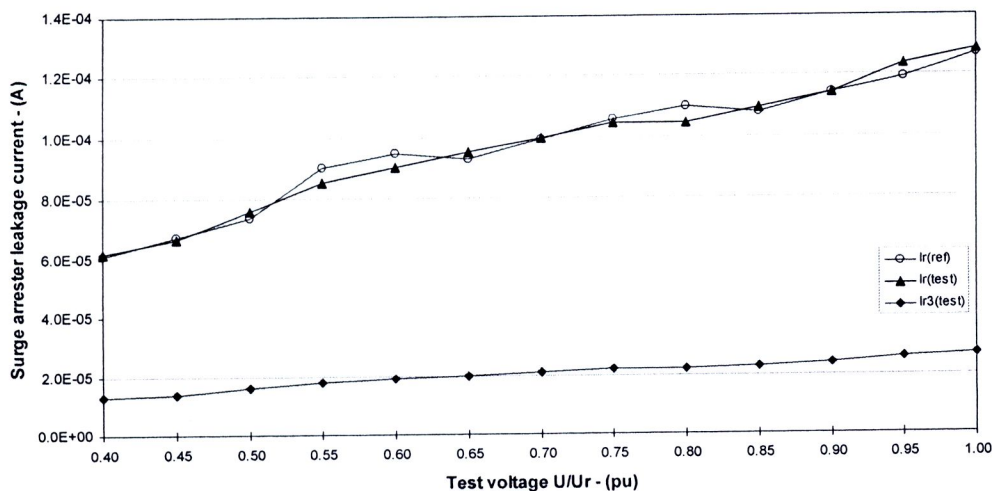
ตรวจสอบส่วนประกอบชาร์โอมนิกในแรงดันอ้างอิงที่จ่ายให้กับคัตเตอร์จ ด้วยฟังก์ชัน FFT ของ ออสซิลโลสโคป ดังแสดงใน รูปที่ 4.10 จากการทดสอบการทำงานของวงจรแสดงสถานะการทำงานของกับคัตเตอร์จ ตลอดการทดลองพบว่า ไม่มีส่วนประกอบชาร์โอมนิกลำดับที่ 3 ปั่นอยู่ใน แรงดันอ้างอิง ซึ่งผลที่ได้จากการทดสอบแสดงไว้ในตารางที่ ก.10 ถึง ก.14 ของภาคผนวก ก และ รูปที่ 4.11 ถึง รูปที่ 4.25 เป็นผลที่ได้จากการทดสอบของวงจรแสดงสถานะการทำงานของกับคัตเตอร์จ เปรียบเทียบกับค่าค่าอ้างอิงที่ได้จากการวัดด้วยอสซิลโลสโคปในห้องปฏิบัติการ จากรูปแสดงค่า ส่วนประกอบชาร์โอมนิกลำดับที่ 3 ของกระแสรั่วไฟรวม (ค่า peak) และกระแสรั่วความด้านทาน (ค่า peak) ของกับคัตเตอร์จตัวอย่างทั้ง 5 ตัวอย่าง



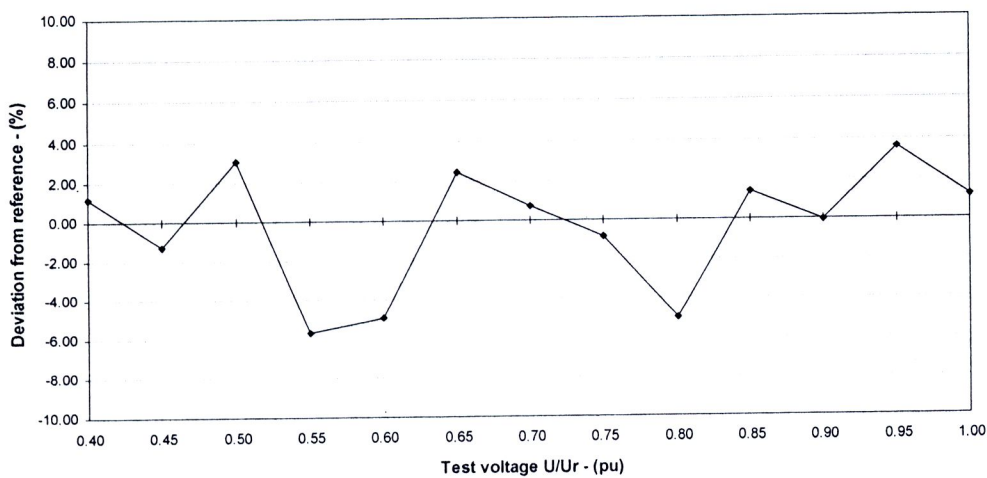
รูปที่ 4.10 แสดงชาร์โอมนิกスペกตรัมของแรงดันทดสอบ ซึ่งใช้เป็นแรงดันอ้างอิงของกับคัตเตอร์จ



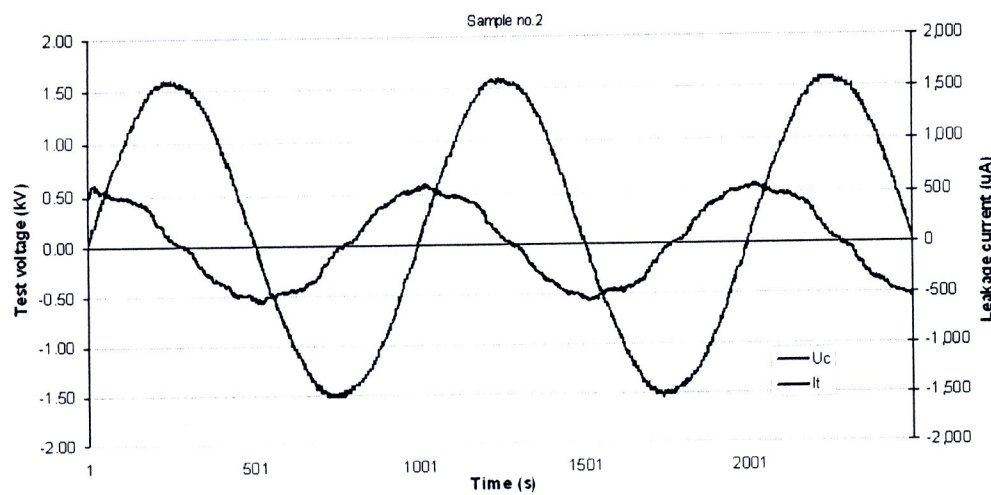
รูปที่ 4.11 แสดงกระแสรั่วไฟรวมเทียบกับแรงดันอ้างอิงของกับคัตเตอร์จ ตัวอย่างทดสอบ NEW-1



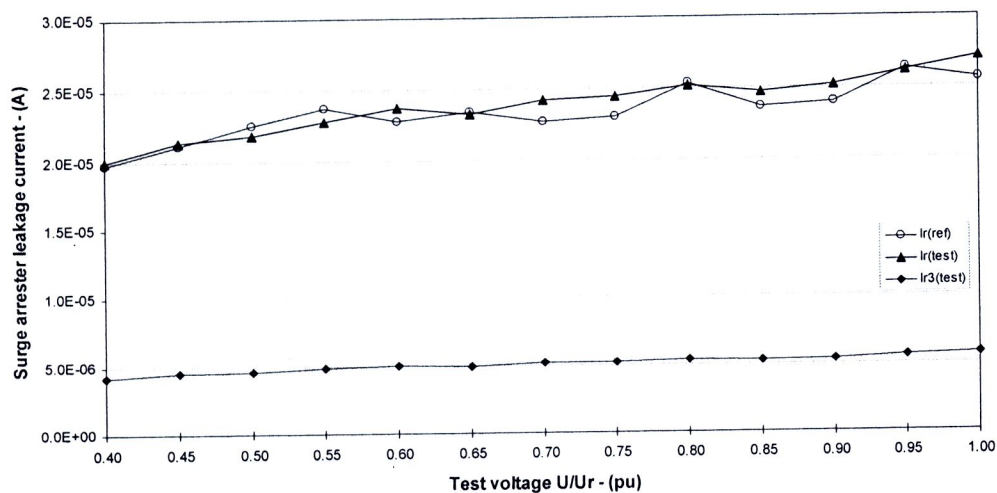
รูปที่ 4.12 ผลการทดสอบกระแสรั่วความด้านทาน ด้วยวงจรแสดงสถานะการทำงานของกับดักเสิร์จในงานวิจัย เทียบกับผลทดสอบในห้องปฏิบัติการตัวอย่างทดสอบ NEW-1



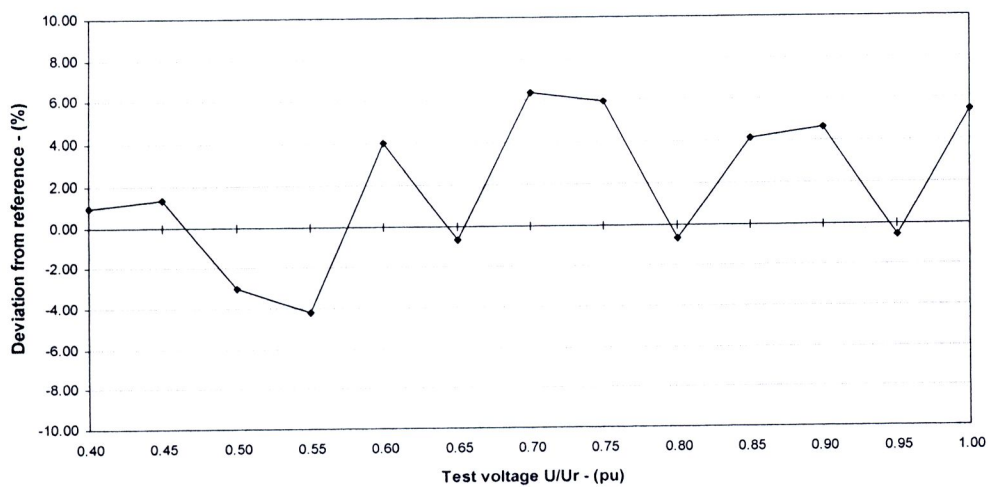
รูปที่ 4.13 ค่าความคลาดเคลื่อนกระแสรั่วความด้านทานค่า peak ของกับดักเสิร์จ เทียบกับผลการทดสอบกระแสรั่วไฟล์ในห้องปฏิบัติการ ตัวอย่างทดสอบ NEW-1



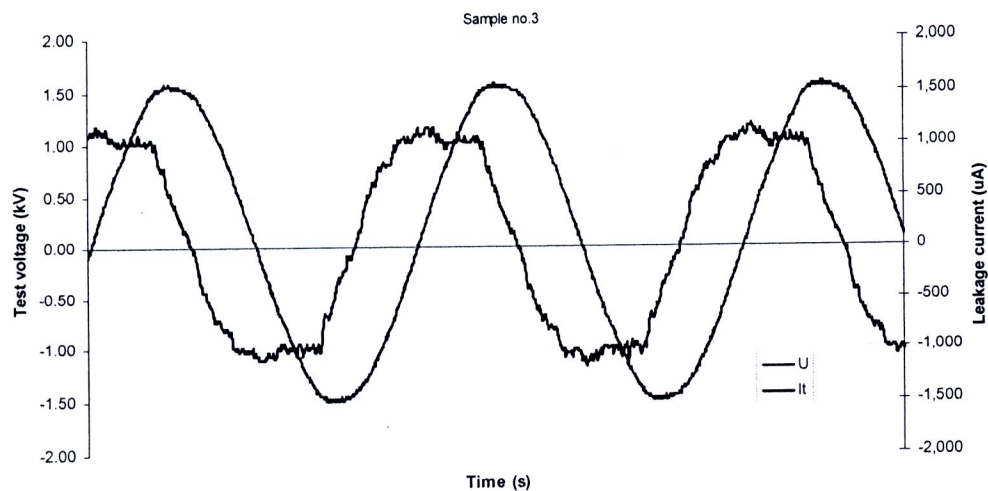
รูปที่ 4.14 แสดงกราฟแสดงว่าไฟรวมเทียบกับแรงดันอ้างอิงของกับคักเสิร์จ ตัวอย่างทดสอบ NEW-2



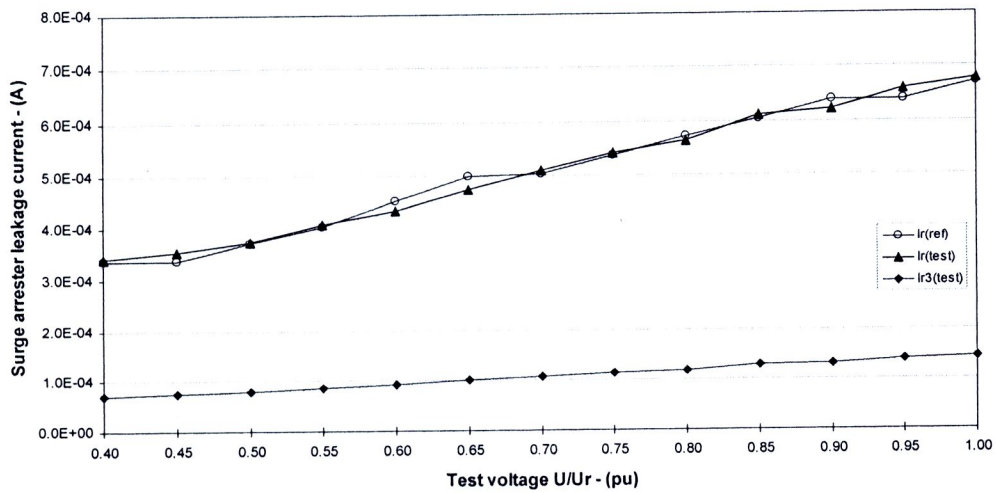
รูปที่ 4.15 ผลการทดสอบกราฟเรื่องความต้านทาน ด้วยวงจรแสดงสถานะการทำงานของกับคักเสิร์จในงานวิจัย เทียบกับผลทดสอบในห้องปฏิบัติการตัวอย่างทดสอบ NEW-2



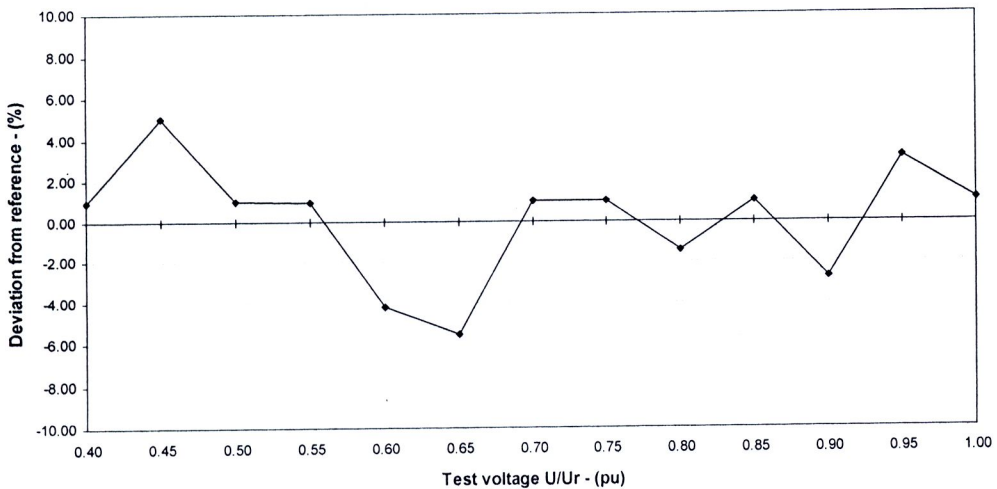
รูปที่ 4.16 ค่าความคลาดเคลื่อนกระแสสั่นความด้านثانค่า peak ของกับดักเสิร์จ เทียบกับผลการทดสอบกระแสสั่นไฟล์ในห้องปฏิบัติการ ตัวอย่างทดสอบ NEW-2



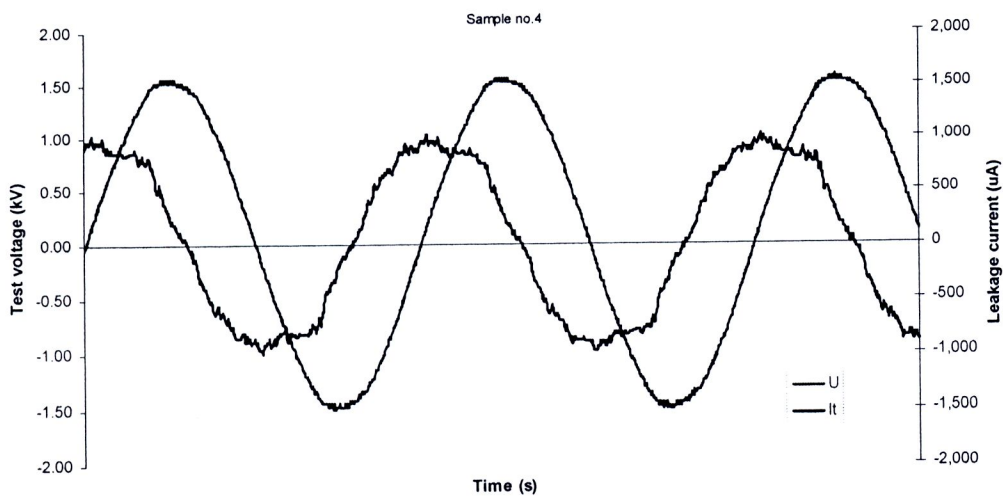
รูปที่ 4.17 แสดงกระแสสั่นไฟล์รวมเทียบกับแรงดันข้างอิ่งของกับดักเสิร์จ ตัวอย่างทดสอบ OLD-1



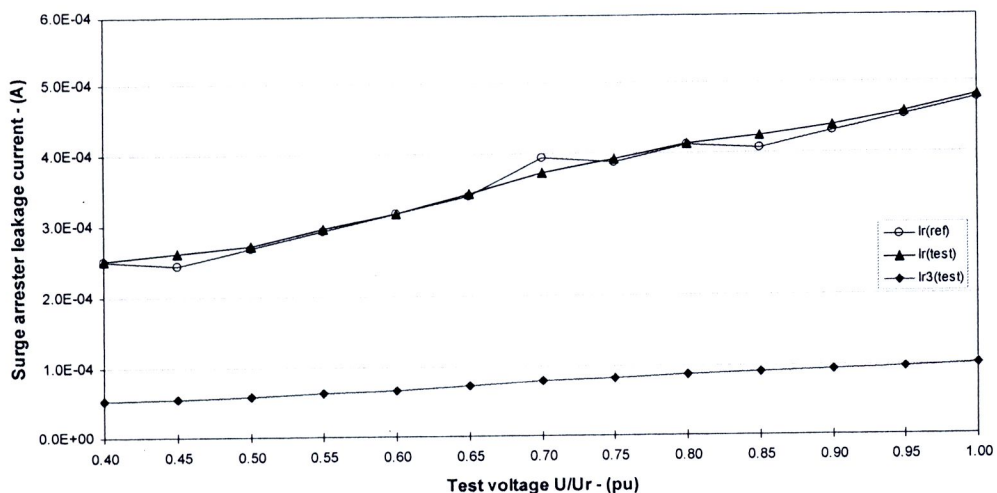
รูปที่ 4.18 ผลการทดสอบกระแสรั่วความด้านทาน คิวยางจระสุดงสถานะการทำงานของกับดัก เสิร์จในงานวิจัย เทียบกับผลทดสอบในห้องปฏิบัติการตัวอย่างทดสอบ OLD-1



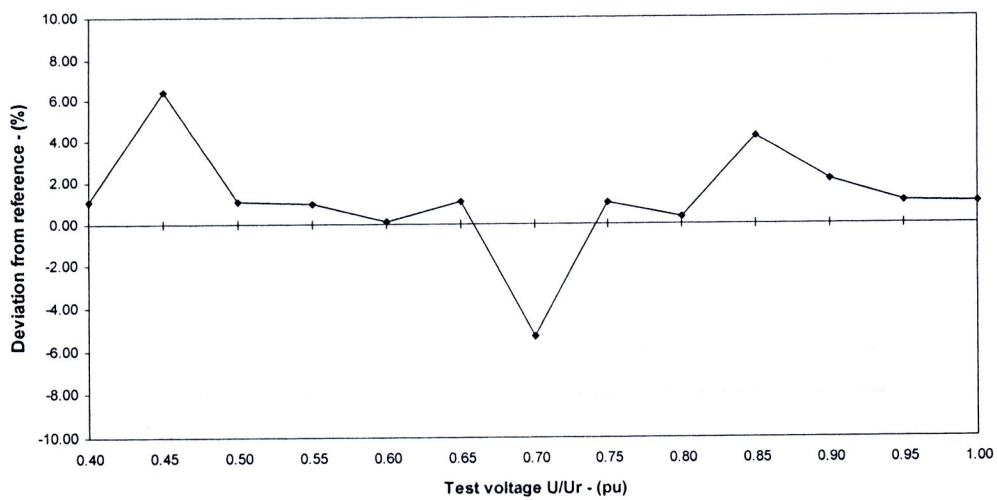
รูปที่ 4.19 ค่าความคลาดเคลื่อนกระแสรั่วความด้านทานค่า peak ของกับดักเสิร์จ เทียบกับผล การทดสอบกระแสรั่วไฟล์ในห้องปฏิบัติการ ตัวอย่างทดสอบ OLD-1



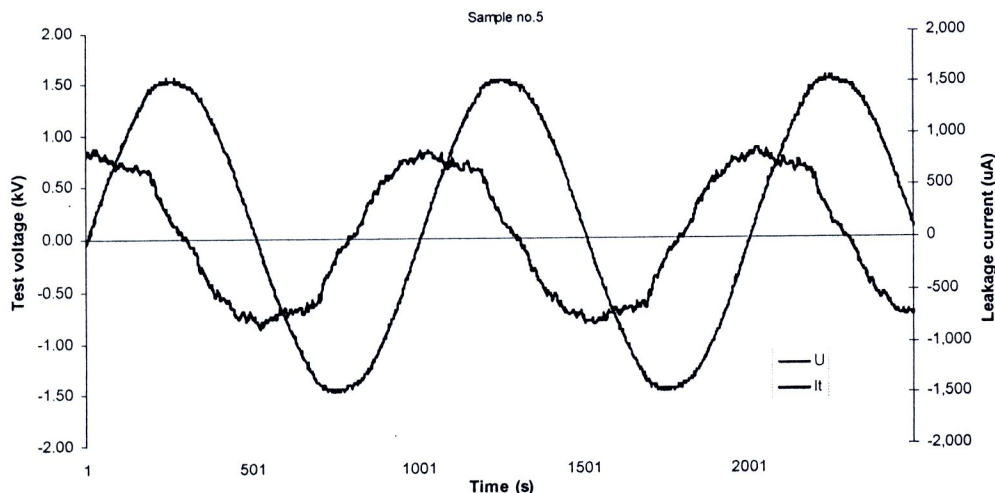
รูปที่ 4.20 แสดงกราฟเรซิ่วไฟล์รวมเทียบกับแรงดันอ้างอิงของกัมดักเติร์จ ตัวอย่างทดสอบ OLD-2



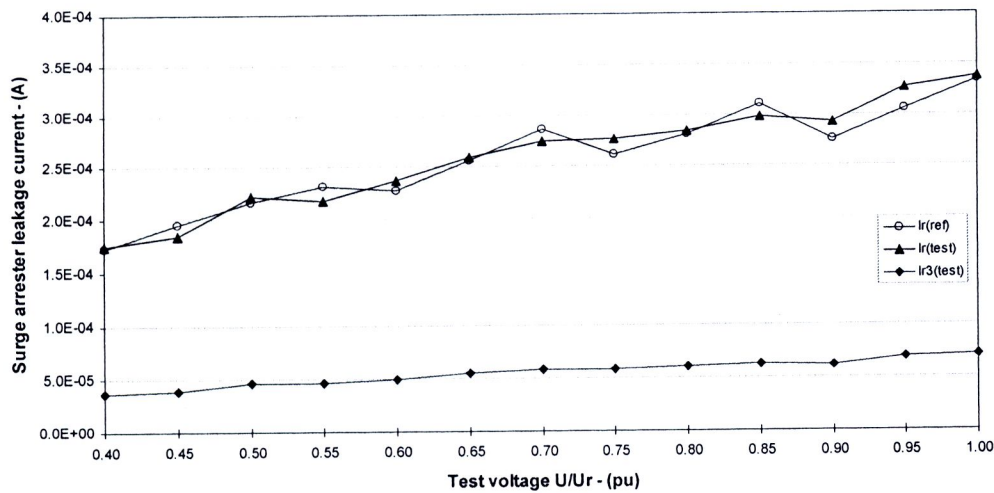
รูปที่ 4.21 ผลการทดสอบกราฟเรซิ่วความด้านทาน ด้วยวงจรแสดงสถานะการทำงานของกัมดักเติร์จในงานวิจัย เทียบกับผลทดสอบในห้องปฏิบัติการตัวอย่างทดสอบ OLD-2



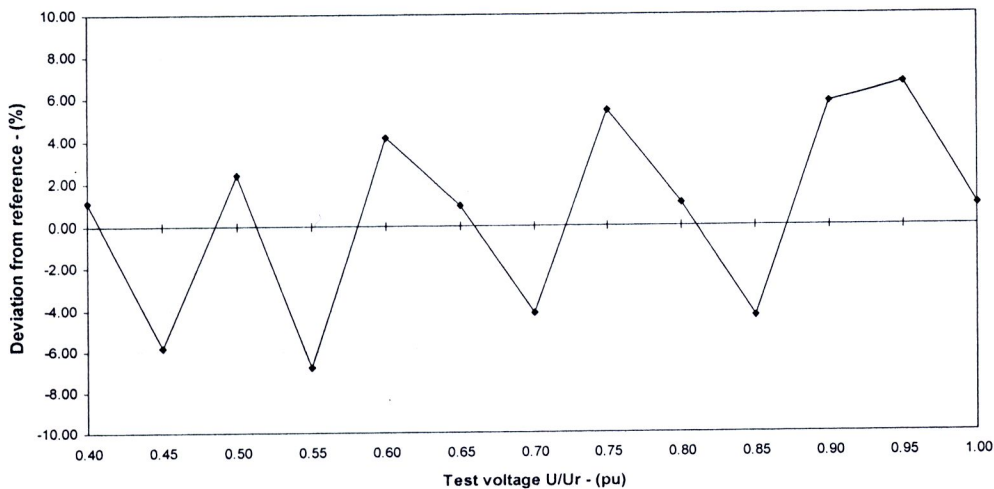
รูปที่ 4.22 ค่าความคลาดเคลื่อนกระแสรั่วความด้านทานค่า peak ของกับดักเสิร์จ เทียบกับผลการทดสอบกระแสรั่วไฟล์ในห้องปฏิบัติการ ตัวอย่างทดสอบ OLD-2



รูปที่ 4.23 แสดงกระแสรั่วไฟล์รวมเทียบกับแรงดันอ้างอิงของกับดักเสิร์จ ตัวอย่างทดสอบ OLD-3



รูปที่ 4.24 ผลการทดสอบกระแสเร็วความต้านทาน ค่าบ่งจรสแสดงสถานะการทำงานของกับดักเสิร์จในงานวิจัย เทียบกับผลทดสอบในห้องปฏิบัติการตัวอย่างทดสอบ OLD-3



รูปที่ 4.25 ค่าความคลาดเคลื่อนกระแสเร็วความต้านทานค่า peak ของกับดักเสิร์จ เทียบกับผลการทดสอบกระแสเร็วไฟล์ในห้องปฏิบัติการ ตัวอย่างทดสอบ OLD-3

4.4 สรุปผลการทดสอบ

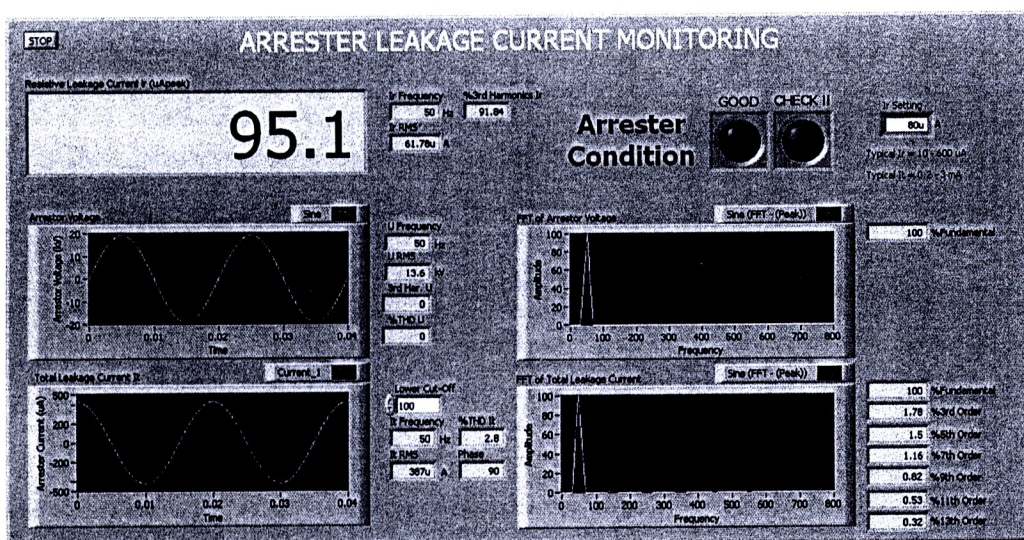
จากการทดสอบวัดค่ากระแสเร็วความต้านทานด้วยวงจรแสดงสถานะการทำงานของกับดักเสริร์จ เทียบกับการวัดด้วยอัลตร้าโซนิกโดยใช้แรงดันตกคร่อมกับดักเสริร์จเป็นสัญญาณอ้างอิง ในห้องปฏิบัติการ มีการเปลี่ยนแปลงค่าตามคุณลักษณะ ทางกระแสและแรงดัน ($V - I$ characteristic) ไปในทิศทางที่สอดคล้องกันกับ ผลการจำลองด้วยโปรแกรม MATLAB (MATLAB simulation)

ค่าความเบี่ยงเบน (deviation) ระหว่างการทดสอบวัดค่ากระแสเร็วความต้านทาน (I_r) ของวงจรแสดงสถานะการทำงานของกับดักเสริร์จ เทียบกับการวัดด้วยอัลตร้าโซนิกโดยใช้แรงดันเป็นสัญญาณอ้างอิง เป็นผลมาจากการความคลาดเคลื่อนในการอ่านค่า โดยเฉพาะเมื่อวัดด้วยอัลตร้าโซนิกซึ่งต้องอ่านค่ากระแส I_r ตรงตำแหน่งค่ายอดของแรงดันอ้างอิง ($dU/dt = 0$) จะมีโอกาสในการอ่านค่าผิดพลาดได้ง่าย นอกจากนี้การทดสอบในช่วงเวลาที่ต่างกัน ทำให้ค่าความคลาดเคลื่อนมีค่าแตกต่างกัน อันเป็นผลมาจากการอุณหภูมิเวคล้อม และความชื้น ซึ่งมีผลต่อกระแสเร็วไฟฟ้าของกับดักเสริร์จ อย่างไรก็ตาม จะเห็นว่าค่าลินีาริตี้ (linearity) ของเดินคุณลักษณะ ทางกระแสและแรงดัน ของกับดักเสริร์จ ที่วัดด้วยวงจรแสดงสถานะการทำงานของกับดักเสริร์จในงานวิจัยนี้ มีความเบี่ยงเบนน้อยกว่า การวัดด้วยอัลตร้าโซนิกโดย

จากการทดสอบการทำงานของวงจรแสดงสถานะการทำงานของกับดักเสริร์จ ทั้งการวัดด้วยวงจรแสดงสถานะการทำงานของกับดักเสริร์จในงานวิจัยนี้ และวัดด้วยอัลตร้าโซนิกโดย ตลอดการทดสอบพบว่า ไม่มีส่วนประกอบของรูปคลื่นสัมภพที่ 3 ในแรงดันทดสอบ ซึ่งใช้เป็นแรงดันอ้างอิง ดังนั้นจึงไม่สามารถทดสอบหาความคลาดเคลื่อนจากส่วนประกอบของรูปคลื่นสัมภพที่ 3 ในแรงดันของระบบได้ เนื่องจากในทางปฏิบัติ ไม่สามารถหาแหล่งจ่ายของรูปคลื่นสัมภพแรงดันสูงที่สามารถควบคุมได้ทั้งขนาดของส่วนประกอบของรูปคลื่นสัมภพที่ 3 และมุมเฟสของส่วนประกอบของรูปคลื่นสัมภพที่ 3 ในแรงดันของระบบได้ แต่สามารถทดสอบหาความคลาดเคลื่อนจากส่วนประกอบของรูปคลื่นสัมภพที่ 3 ในแรงดันของระบบได้ เมื่อเทียบผลที่ได้กับค่าจากการจำลองในโปรแกรม MATLAB แต่เมื่อนำไปใช้ในการทดสอบจริงก็ยังไม่สามารถทำการเปรียบเทียบค่าความคลาดเคลื่อนจากส่วนประกอบของรูปคลื่นสัมภพที่ 3 ในแรงดันได้ ถ้าแรงดันของระบบที่ใช้ในการทดสอบ ไม่มีส่วนประกอบของรูปคลื่นสัมภพที่ 3 ปนอยู่

การทดสอบหาความคลาดเคลื่อน เนื่องจากในทางปฏิบัติ ไม่สามารถหาแหล่งจ่ายของรูปคลื่นสัมภพแรงดันสูงที่สามารถควบคุมได้ทั้งขนาดของส่วนประกอบของรูปคลื่นสัมภพที่ 3 และมุมเฟสของส่วนประกอบของรูปคลื่นสัมภพที่ 3 ในแรงดันของระบบได้ แต่สามารถทดสอบหาความคลาดเคลื่อนจากส่วนประกอบของรูปคลื่นสัมภพที่ 3 ในแรงดันของระบบได้ เมื่อเทียบผลที่ได้กับค่าจากการจำลองในโปรแกรม MATLAB แต่เมื่อนำไปใช้ในการทดสอบจริงก็ยังไม่สามารถทำการเปรียบเทียบค่าความคลาดเคลื่อนจากส่วนประกอบของรูปคลื่นสัมภพที่ 3 ในแรงดันได้ ถ้าแรงดันของระบบที่ใช้ในการทดสอบ ไม่มีส่วนประกอบของรูปคลื่นสัมภพที่ 3 ปนอยู่

ในการทดสอบสัญญาณเตือนของวงจรแสดงสถานะการทำงานของกับดักเสร็จ โดยการปรับตั้งค่ากระแสรั่วความต้านทานสูงสุด ไว้ให้ต่ำกว่ากระแสรั่วความต้านทานที่วิเคราะห์ได้จาก การวัด สามารถแสดงสัญญาณเตือนสภาวะเสื่อมสภาพ ที่ต้องทำการตรวจสอบ ("CHECK" condition) ได้อย่างถูกต้อง ดังแสดงในรูปที่ 4.26 จากรูป มีการปรับตั้งสัญญาณเตือน ของกระแสรั่ว ความต้านทาน ไว้ที่ $80 \mu\text{A}$ ในขณะที่วัดค่ากระแสรั่วความต้านทานจริงได้ $95.1 \mu\text{A}$ วงจรแสดง สถานะการทำงานของกับดักเสร็จ จะแสดงสัญญาณเตือน "CHECK"



รูปที่ 4.26 การแสดงผลการทดสอบวงจรแสดงสถานะการทำงานของกับดักเสร็จ เมื่อวัดค่ากระแสรั่วให้ความต้านทานได้สูงกว่าค่าปรับตั้งของสัญญาณเตือน